



LLUVIAS



CENEPRED

Centro Nacional de Estimación, Prevención y
Reducción del Riesgo de Desastres

ESCENARIOS DE RIESGO POR LLUVIAS PARA EL PERIODO NOVIEMBRE 2024 - ENERO 2025

(Con base en el Informe Técnico N° 13-2024/SENAMHI-DMA-SPC)

Octubre 2024

ESCENARIOS DE RIESGO DE LLUVIAS PARA EL PERIODO NOVIEMBRE 2024 – ENERO 2025
Con base en el Informe Técnico N°13-2024/SENAMHI-DMA-SPC elaborado por el SENAMHI

Elaborado por el Centro Nacional de Estimación, Prevención y Reducción del Riesgo de Desastres (CENEPRED).

Dirección de Gestión de Procesos. Subdirección de Gestión de la Información. CENEPRED, 2024.

Av. Del Parque Norte N° 829 – 833, San Isidro - Lima – Perú

Teléfono: 2013-550, correo electrónico: info@cenepred.gob.pe

Página web: <https://www.gob.pe/cenepred>

Equipo Técnico del CENEPRED:

Gral. ROLANDO GUSTAVO CAPUCHO CÁRDENAS

Jefe del CENEPRED

CrnI. (r) Walter Martin Becerra Noblecilla

Director de la Dirección de Gestión de Procesos

Ing. Alfredo Adrián Zambrano Gonzales

Subdirector de Gestión de la Información

Ing. Ena James Espinoza

Ing. Meteoróloga

Geog. Vladimir Cuisano Marreros

Especialista en Análisis Territorial

Geog. Leane Arias Rojas

Especialista en Análisis Territorial

TABLA DE CONTENIDO

INTRODUCCIÓN	3
1 OBJETIVO	4
2 METODOLOGÍA PARA LA DETERMINACIÓN DEL ESCENARIO DE RIESGO	4
3 PERSPECTIVAS DE LLUVIAS A NIVEL NACIONAL	4
3.1 Pronóstico de lluvias para el periodo noviembre 2024 – enero 2025	4
3.2 Pronóstico hidrológico estacional para el verano 2025	6
4 ZONAS Y PUNTOS CRÍTICOS POR MOVIMIENTOS EN MASA E INUNDACIONES	7
4.1 Movimientos en masa	7
4.2 Inundaciones	8
5 ESCENARIO DE RIESGO POR MOVIMIENTOS EN MASA	9
5.1 Susceptibilidad por movimientos en masa ante el pronóstico de lluvias noviembre 2024 – enero 2025	9
5.2 Identificación de elementos expuestos a movimientos en masa	12
5.3 Determinación del escenario de riesgo por movimientos en masa	11
6 ESCENARIO DE RIESGO POR INUNDACIONES	14
6.1 Susceptibilidad por inundaciones ante el pronóstico de lluvias noviembre 2024 – enero 2025	14
6.2 Identificación de los elementos expuestos a inundaciones	15
6.3 Determinación del escenario de riesgo por inundaciones	15
7 CONCLUSIONES	18
8 RECOMENDACIONES	18

INTRODUCCIÓN

La temporada de lluvias o periodo lluvioso en nuestro país se desarrolla entre los meses de setiembre a abril, presentándose la mayor cantidad de precipitaciones durante los meses de verano (enero a marzo). La intensidad de las lluvias estará sujeta al comportamiento del océano y la atmósfera, ocasionando cantidades superiores o inferiores a sus valores normales, pudiendo presentar situaciones extremas en un determinado espacio y tiempo.

El CENEPRED, entidad a cargo de los procesos de estimación, prevención, reducción del riesgo de desastres, así como de reconstrucción, en cumplimiento de las funciones otorgadas por la Ley N° 29664 y su Reglamento, ha elaborado el presente documento denominado **“ESCENARIOS DE RIESGO DE LLUVIAS PARA EL PERIODO NOVIEMBRE 2024 – ENERO 2025”**, basado en el Informe Técnico N°13-2024/SENAMHI-DMA-SPC, “Perspectivas climáticas para el periodo noviembre 2024 – enero 2025”, emitido por el Servicio Nacional de Meteorología e Hidrología (SENAMHI), y en las perspectivas océano-atmosféricas anunciadas recientemente por la Comisión Multisectorial encargada del Estudio Nacional del Fenómeno El Niño (ENFEN).

El presente escenario de riesgo focaliza el análisis en las áreas donde se prevé superávit de lluvias, siendo más probable la presencia de inundaciones, deslizamientos, huaycos u otros tipos de movimiento en masa, pudiendo generar daños y/o pérdidas en la población y sus medios de vida, así como en su patrimonio y del Estado.

La Comisión Multisectorial del ENFEN (Comunicado Oficial ENFEN N°13-2024¹), conforme al juicio experto del ENFEN, basado en los datos observados y los pronósticos de los modelos climáticos nacionales e internacionales, en el Pacífico central (región Niño 3.4) es más probable la condición de La Niña débil desde noviembre de 2024 hasta marzo de 2025. En la región Niño 1+2 es más probable la condición neutra hasta mayo.

En consecuencia, para el verano diciembre 2024-marzo 2025, es mayor la probabilidad del desarrollo de La Niña débil en el Pacífico central (52 %), seguida de la probabilidad de condición neutra (46 %). Para la región Niño 1+2, es más probable la condición neutra (67 %).

El resultado obtenido, determina una aproximación al riesgo existente en ámbitos distritales, con el propósito de que las autoridades regionales y/o locales realicen las acciones correspondientes a la gestión prospectiva, correctiva y reactiva para la protección de la población expuesta.

¹ Publicado el 18 de octubre de 2024.

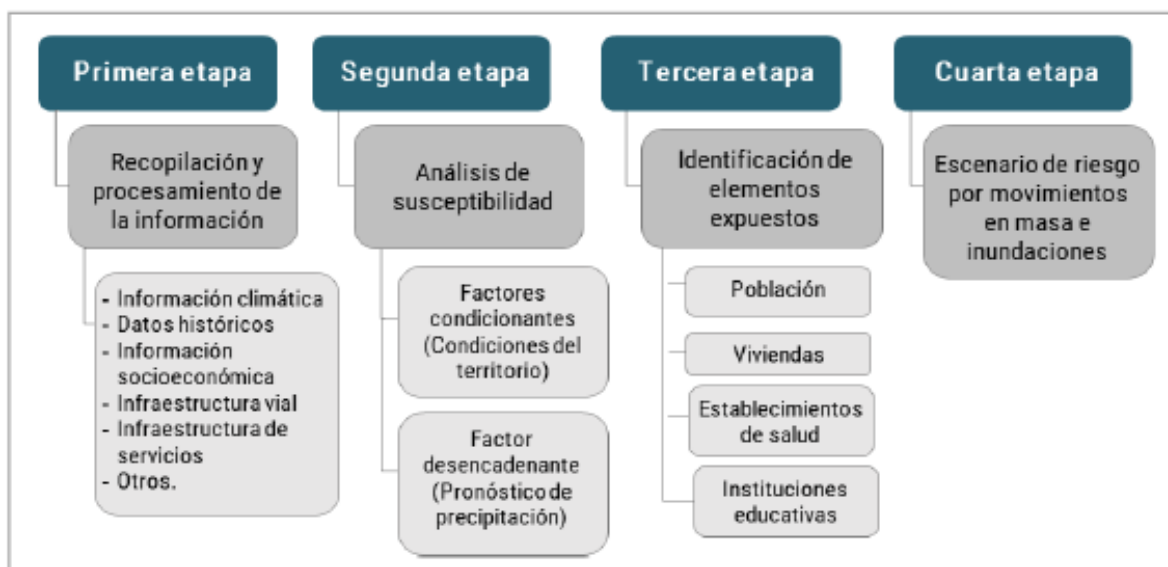
1 OBJETIVO

Identificar la posible afectación que puede sufrir la población ante las condiciones de lluvias previstas para el periodo noviembre 2024 – enero 2025, en el ámbito nacional.

2 METODOLOGÍA PARA LA DETERMINACIÓN DEL ESCENARIO DE RIESGO

La metodología utilizada para la elaboración de los escenarios de riesgo por superávit de lluvias ha considerado cuatro etapas, tal como muestra la Figura 1.

Figura 1. Flujograma de la metodología para la elaboración de los escenarios de riesgo



Fuente: CENEPRED

3 PERSPECTIVAS DE LLUVIAS A NIVEL NACIONAL

3.1 Pronóstico de lluvias para el periodo noviembre 2024 – enero 2025

La Figura 2, el pronóstico estacional del SENAMHI para el trimestre noviembre 2024 enero 2025 indica que en la costa norte las lluvias totalizaran cantidades inferiores, mientras la costa central y sur condiciones normales. En la zona andina norte occidental se prevén lluvias inferiores a lo normal y condiciones normales en la sierra norte oriental y sierra central; en la sierra sur, las lluvias totalizarían para el trimestre cantidades entre normal a inferior. En la selva, se esperan lluvias de normal a superior en la selva norte, y condiciones normales en la selva central y de normal a inferior en el sur.

En la Tabla 1, se muestra la distribución de las probabilidades de lluvias para el respectivo periodo, las tonalidades anaranjadas, indican un escenario de acumulados de lluvias de normal a inferior, las tonalidades verdes de normal a superior, por otro lado, el color blanco, señala un escenario de lluvias dentro de sus rangos normales.

Figura 2. Pronóstico de lluvias por regiones para el periodo noviembre 2024 – enero 2025

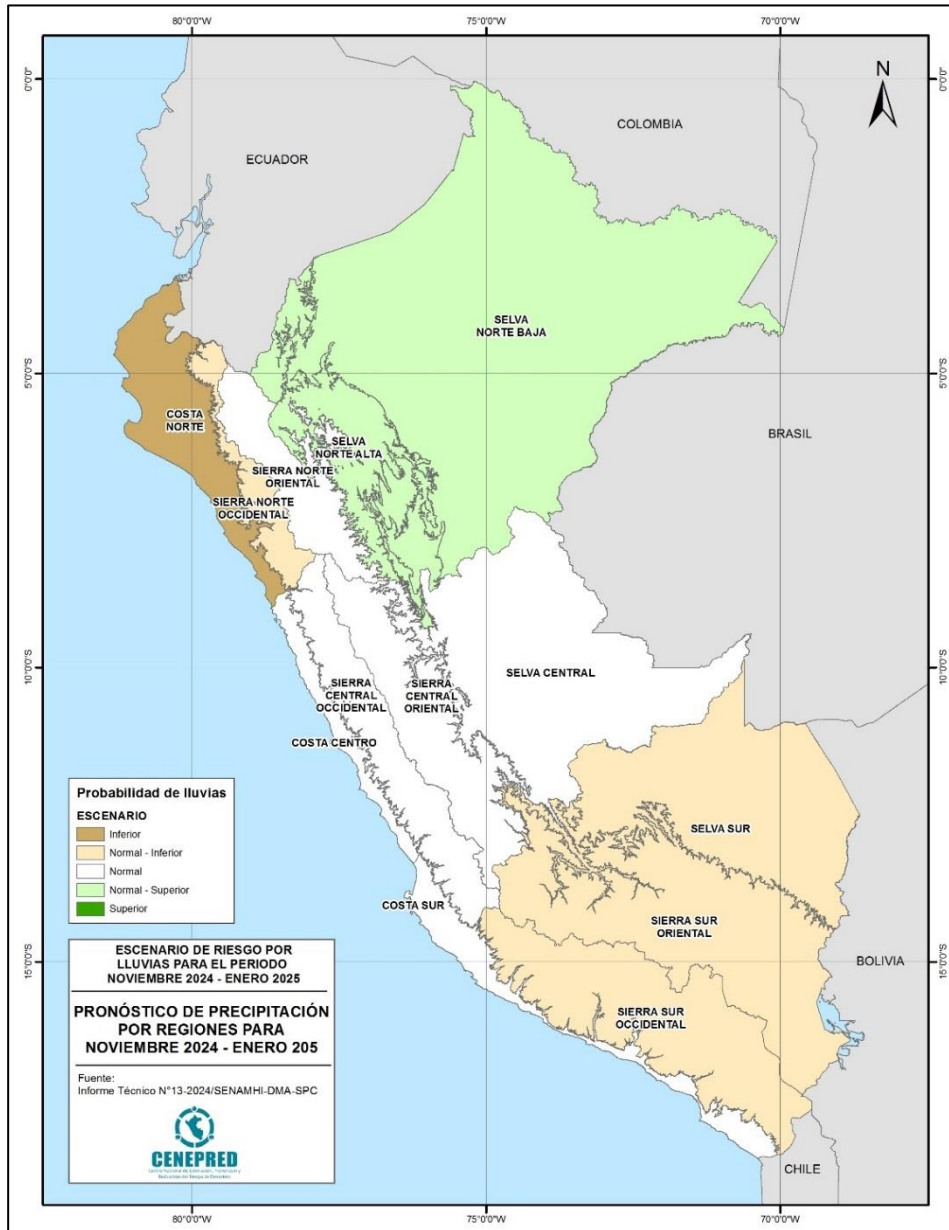


Tabla 1. Pronóstico probabilístico de la precipitación, por regiones a nivel nacional.

ESCENARIO	DESCRIPCIÓN
Inferior	<i>Inferior a lo Normal</i>
Normal - Inferior	<i>Escenario de lluvias entre Normal e Inferior a lo Normal: cuando las probabilidades del escenario Normal e Inferior son similares.</i>
Normal	<i>Escenario de lluvias Normal</i>
Normal - Superior	<i>Escenario de lluvias entre Normal y Superior lo Normal: cuando las probabilidades del escenario Normal y Superior son similares.</i>
Superior	<i>Superior a lo Normal</i>

Según la Comisión Multisectorial del ENFEN (Comunicado Oficial ENFEN N°13-2024)² conforme al juicio experto del ENFEN, basado en los datos observados y los pronósticos de los modelos climáticos nacionales e internacionales, en el Pacífico central (región Niño 3.4) es más probable la condición de La Niña débil desde noviembre de 2024 hasta marzo de 2025. En la región Niño 1+2 es más probable la condición neutra hasta mayo. En consecuencia, para el verano diciembre 2024-marzo 2025, es mayor la probabilidad del desarrollo de La Niña débil en el Pacífico central (52 %), seguida de la probabilidad de condición neutra (46 %). Para la región Niño 1+2, es más probable la condición neutra (67 %).

3.2 Pronóstico hidrológico estacional para el verano 2025

El SENAMHI señala en el pronóstico hidrológico estacional a nivel nacional para el periodo octubre 2024 – febrero 2025³ lo siguiente (Tabla 2):

Tabla 2. Perspectivas de las condiciones hidrológicas para el periodo octubre 2024 – febrero 2025⁴

Región	Estación	Río	Rango pronosticado durante el periodo
Pacífico	El Tigre	Tumbes	normal a debajo de lo normal
	El Ciruelo	Chira	debajo lo normal
	Pte. Ñacara	Piura	normal a debajo de lo normal
	Yonán	Jequetepeque	muy debajo de lo normal a normal
	Condorcerro	Santa	debajo de lo normal a normal
	Santo Domingo	Chancay-Huaral	normal
	Chosica	Rímac	normal
	La Capilla	Mala	sobre lo normal a normal
	Letrayoc	Pisco	muy debajo de lo normal a normal
	Ocoña	Ocoña	normal
Titicaca	Pte. Huancané	Huancané	muy debajo de lo normal a debajo de lo normal
	Pte. Ramis	Ramis	muy debajo de lo normal a debajo de lo normal
	Pte. Coata-Unocolla	Coata	muy debajo de lo normal a debajo de lo normal
	Pte. Ilave	Ilave	debajo de lo normal a normal
Amazonas	Tamshiyacu	Amazonas	muy debajo de lo normal a normal
	Tocache	Huallaga	debajo de lo normal a normal
	Pisac	Vilcanota	sobre lo normal a normal

Fuente: SENAMHI (septiembre, 2024)

Región Hidrográfica del Pacífico

En la región del Pacífico norte y centro, se presentaría un comportamiento hidrológico de caudales entre “muy debajo de lo normal” a “normal”. Mientras que en la región del Pacífico sur, se presentaría un comportamiento de los caudales variable entre “muy debajo de lo normal” a “normal”.

² Publicado el 18 de octubre de 2024.

³ Reporte N° 10-2024/ SENAMHI-DHI-SPH

⁴ Nota: Anomalías de caudal simuladas entre -100% a -50% corresponden a “muy debajo de lo normal”, entre -50% a -25% como “debajo de lo normal”, entre -25% a 25% como “normal”, entre 25% a 50% como “sobre lo normal”, entre 50% a 100% como “muy sobre lo normal” y mayor a 100% como “alto”.

Región Hidrográfica del Amazonas

Se presentaría un comportamiento hidrológico variable entre “muy debajo de lo normal” a “sobre lo normal”.

Región Hidrográfica del Titicaca

Se presentaría un comportamiento hidrológico variable entre “muy debajo de lo normal” a “normal”.

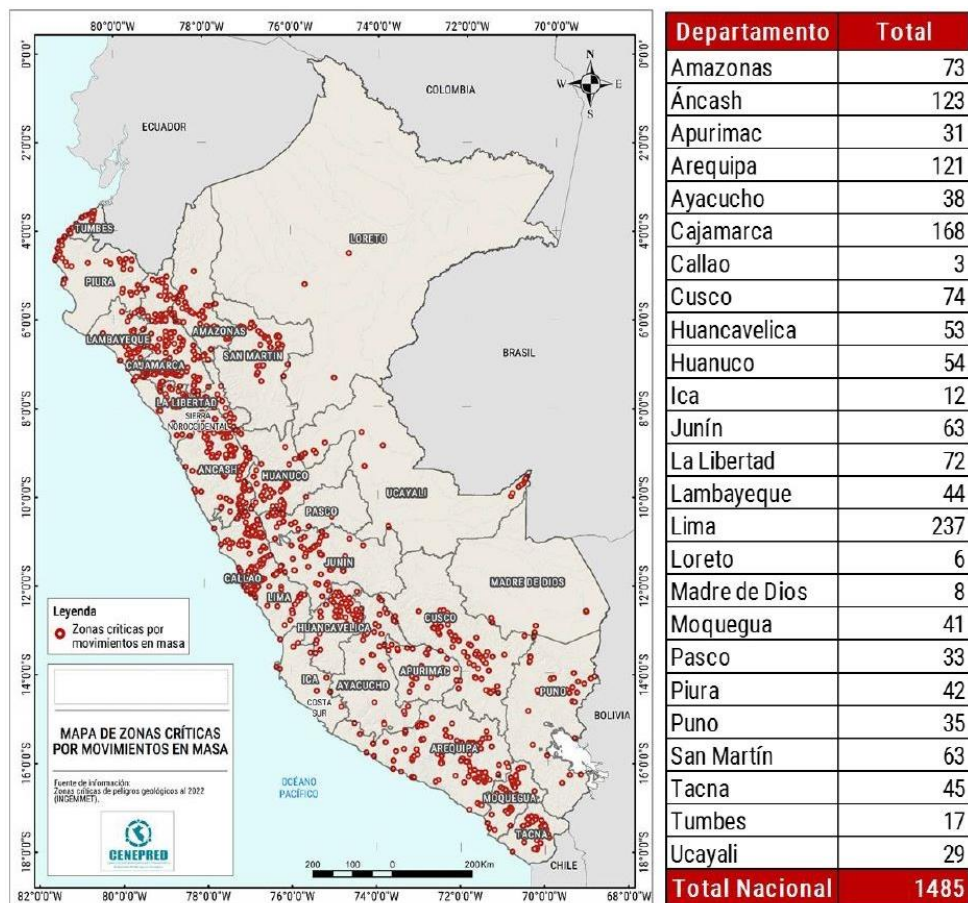
4 ZONAS Y PUNTOS CRÍTICOS POR MOVIMIENTOS EN MASA E INUNDACIONES

4.1 Movimientos en masa

De acuerdo a la base de datos del INGEMMET se tiene identificado un total de 1 485 zonas críticas por la ocurrencia (recientes y antiguas) de procesos de movimientos en masa. Los tipos identificados principalmente son deslizamientos, derrumbes, caídas de rocas, y flujos de detritos (huaycos, flujos de lodo, avalanchas de rocas o detritos), distribuidos en el ámbito nacional (Figura 3).

De acuerdo a la Figura 3, los departamentos donde se han registrado el mayor número de zonas críticas por eventos de movimientos en masa son Lima (237), Cajamarca (168), Áncash (123) y Arequipa (121).

Figura 3. Zonas críticas por movimientos en masa



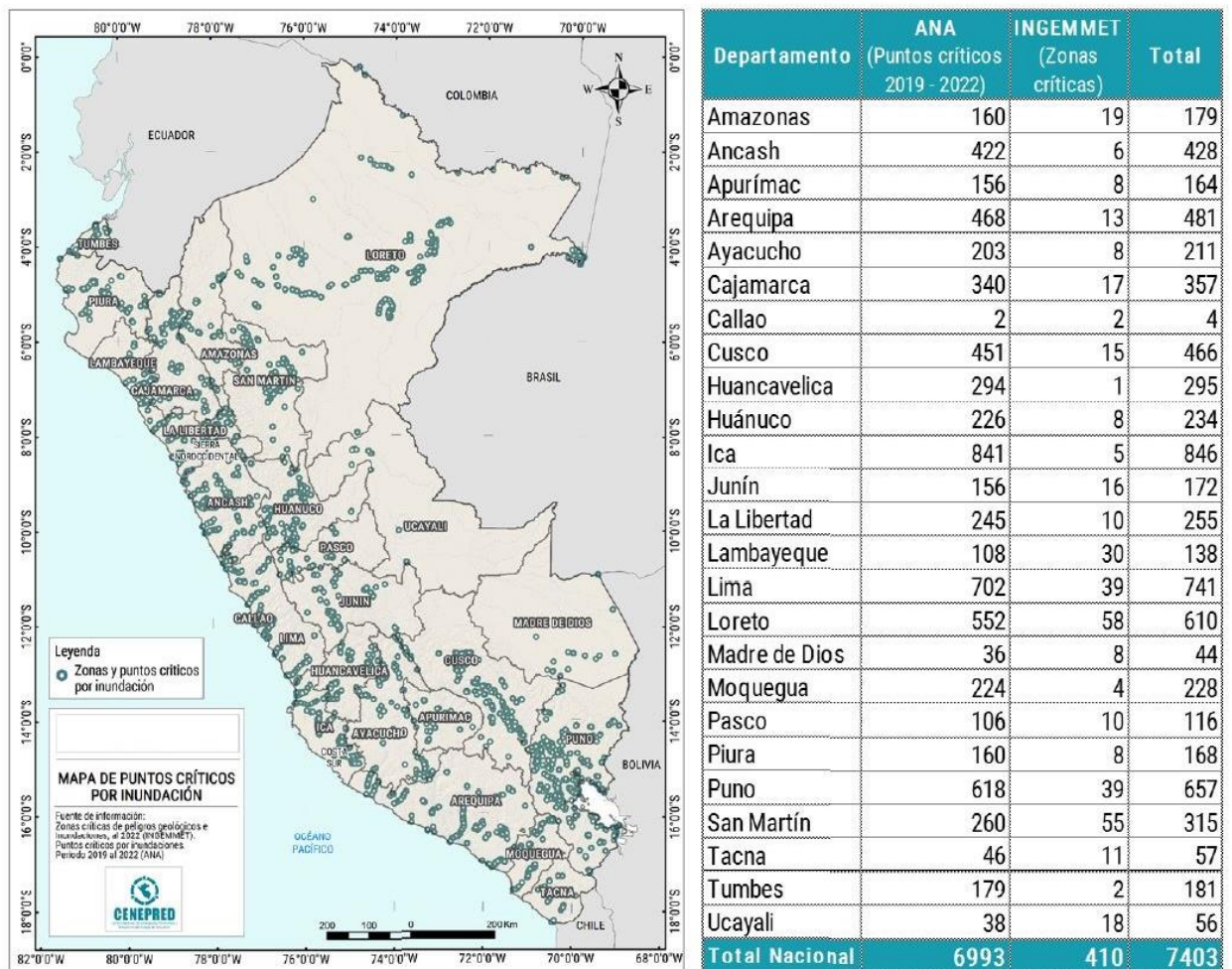
Fuente: Elaborado con información del INGEMMET (2023)

4.2 Inundaciones

A nivel nacional, existe un total de 7 403 lugares expuestos a la ocurrencia de inundaciones considerados como críticos (Figura 4), de los cuales 6 993 fueron identificados por la Autoridad Nacional del Agua (ANA) y 410 fueron identificados por el INGEMMET (Figura 4).

Según la Figura 4, los departamentos con el mayor número de puntos y zonas críticas de inundaciones son Ica (846), Lima (741), Puno (657) y Loreto (610).

Figura 4. Puntos y zonas críticas por inundación



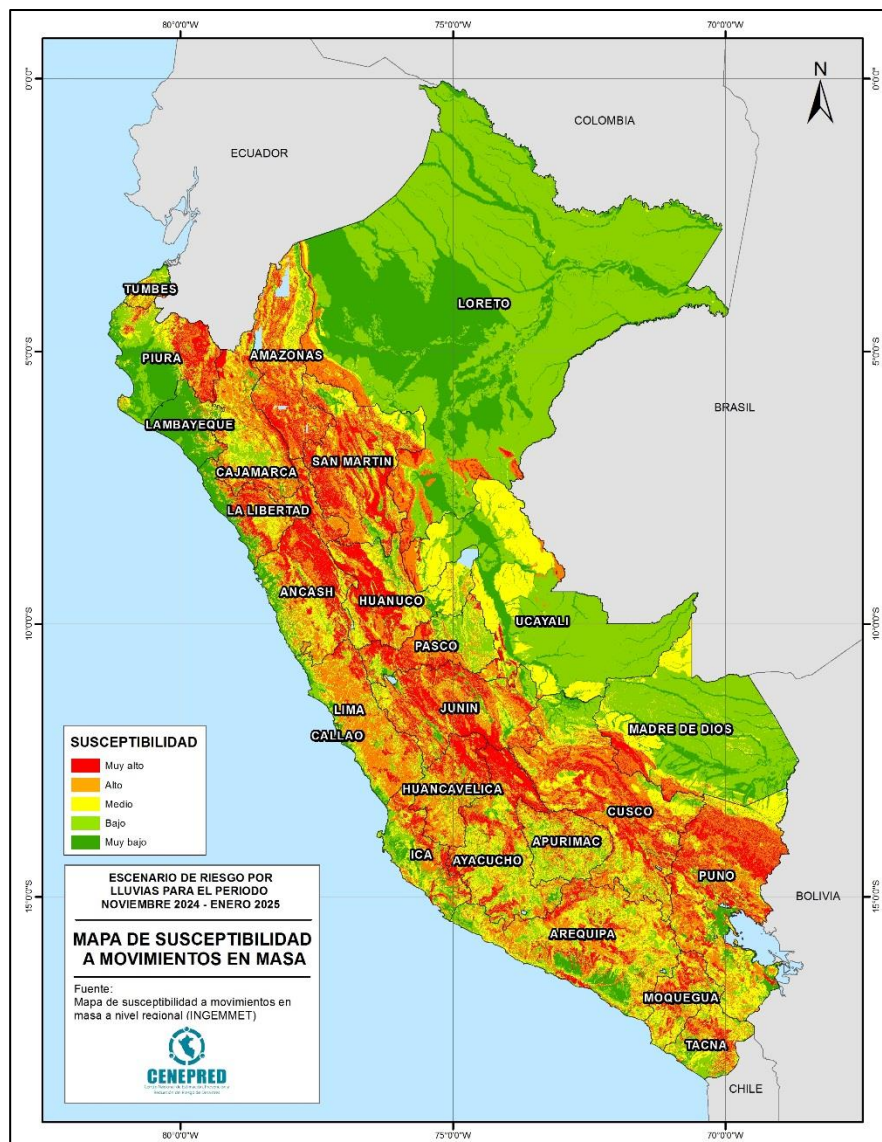
Fuente: Elaborado con información del INGEMMET (2022) y ANA (2022)

5 ESCENARIO DE RIESGO POR MOVIMIENTOS EN MASA

5.1 Susceptibilidad por movimientos en masa ante el pronóstico de lluvias noviembre 2024 – enero 2025

Para la identificación de los ámbitos con mayor predisposición a la ocurrencia de huaycos, deslizamientos, caídas u otro tipo de movimientos en masa, es necesario conocer las características físicas del territorio. Para ello se consolidó los mapas de susceptibilidad por movimientos en masa a nivel regional, elaborados por el INGEMMET (Figura 5).

Figura 5. Susceptibilidad por movimientos en masa



Nota: Los mapas de susceptibilidad por movimientos en masa, si bien identifican áreas donde se pueden generar potencialmente tales eventos, en ellos no figura la totalidad de zonas a ser afectadas, ni predicen cuando ocurrirán los procesos analizados (Ayala-Carcedo y Olcinas 2002).

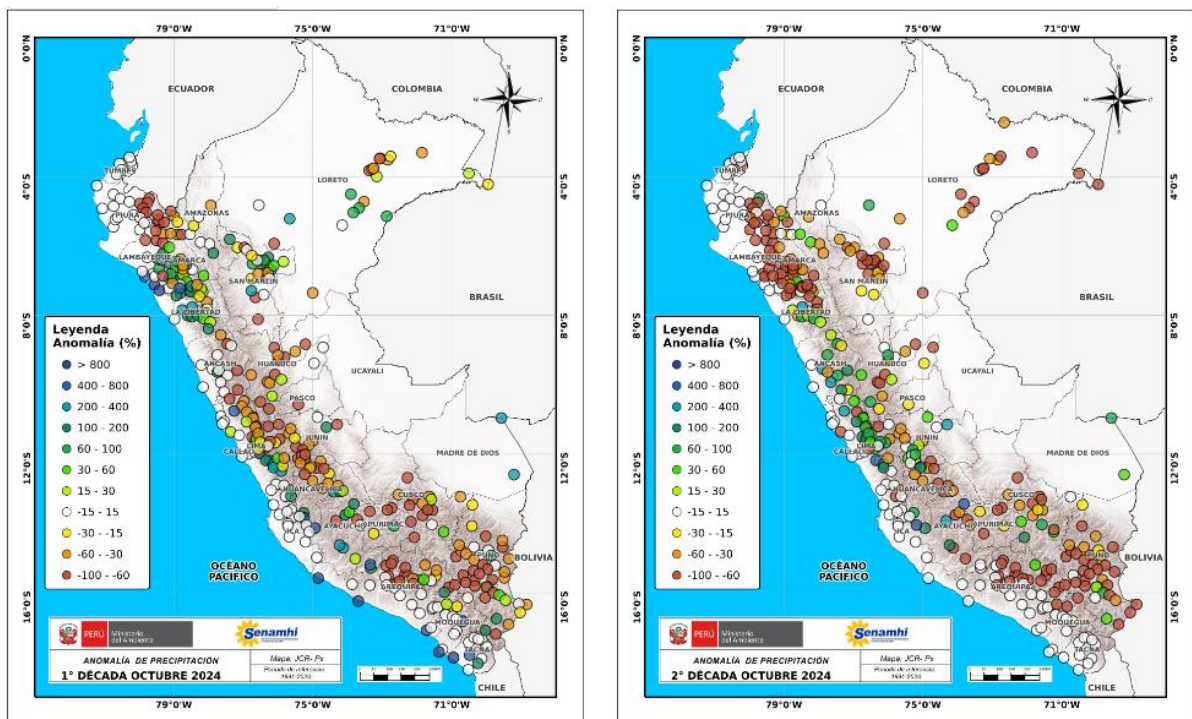
Fuente: INGEMMET

Los mapas de susceptibilidad por movimientos en masa fueron elaborados con base en los siguientes factores condicionantes del territorio: pendiente, geomorfología, litología, hidrogeología y cobertura vegetal. Las áreas de susceptibilidad muy alta y alta se caracterizan principalmente por presentar relieves montañosos, laderas de fuerte pendiente y escasa o nula cobertura vegetal.

Por otro lado, la probabilidad de que las lluvias puedan darse por encima de su patrón normal (superávit) en ciertas zonas del país anuncia la posible presencia de lluvias fuertes, que es un factor desencadenante para la ocurrencia de movimiento en masa, pudiendo traer consigo situaciones de riesgo para la población. Por esta razón, el presente escenario de riesgo focaliza el análisis en las áreas donde se prevé superávit de lluvias, delimitada de color negro en el mapa de Escenario de Riesgos por movimientos en masa ante el pronóstico de lluvias noviembre 2024 – enero 2025 (Figura 7).

Es importante tener presente que, según el monitoreo decadal (acumulado cada 10 días) de las lluvias muestra que algunas zonas han estado presentadas cantidades superiores a su promedio mensual, lo que contribuye a que en esas zonas podría presentarse deslizamientos de tierra. (colocar mapas de lluvias de setiembre y de la 1era y 2da década de octubre).

Figura 6. Monitoreo decadal de octubre de 2024



agregar mapa

Fuente: SENAMHI: <https://www.senamhi.gob.pe/?p=condiciones-climaticas>

5.2

Este análisis ha considerado como elementos expuestos: población, viviendas, establecimientos de salud e instituciones educativas. Para ello se ha utilizado la siguiente base de datos georreferenciada:

- Población y vivienda a nivel distrital del Censo de Población y Vivienda del año 2017, elaborado por el Instituto Nacional de Estadística e Informática (INEI).
- Establecimientos de salud del Registro Nacional de Instituciones Prestadoras de Servicios de Salud (RENIPRESS) del Ministerio de Salud, actualizada a marzo 2024.
- Instituciones educativas del Ministerio de Educación, actualizada a marzo 2024.

5.3 Determinación del escenario de riesgo por movimientos en masa

Con la información geoespacial mencionada en el párrafo anterior, se realizó el análisis de exposición, superponiendo las capas georreferenciadas de los principales elementos expuestos ya identificados sobre las áreas de susceptibilidad por movimientos en masa, priorizando los niveles alto y muy alto, con la finalidad de identificar los posibles daños y/o pérdidas frente a la ocurrencia de movimientos en masa.

De acuerdo con la Tabla 3 & Figura 7, existen 18 395 centros poblados con probabilidad de riesgo muy alto, los cuales comprenden un total 1 130 361 personas, 501 515 viviendas, así como 1 105 establecimientos de salud y 7 453 instituciones educativas, y se encuentran distribuidos a nivel nacional. Entre los departamentos con mayor población se encuentran Huánuco (147,234), Amazonas (146,774) y Áncash (135,873).

En este mismo escenario, existen 26 296 centros poblados con un nivel de riesgo alto, ubicados en el ámbito nacional. En la misma situación de riesgo se encuentran 1 890 690 personas, 844 167 viviendas, 1 785 establecimientos de salud y 10 869 instituciones educativas. Los departamentos con el mayor número de población expuesta a un nivel de riesgo alto son Cusco (281 454 personas), Cajamarca (238 630 personas) y Puno (166 268) (Tabla 3).

Figura 7. Mapa de Escenario de Riesgos por movimientos en masa para el periodo noviembre 2024 – enero 2025

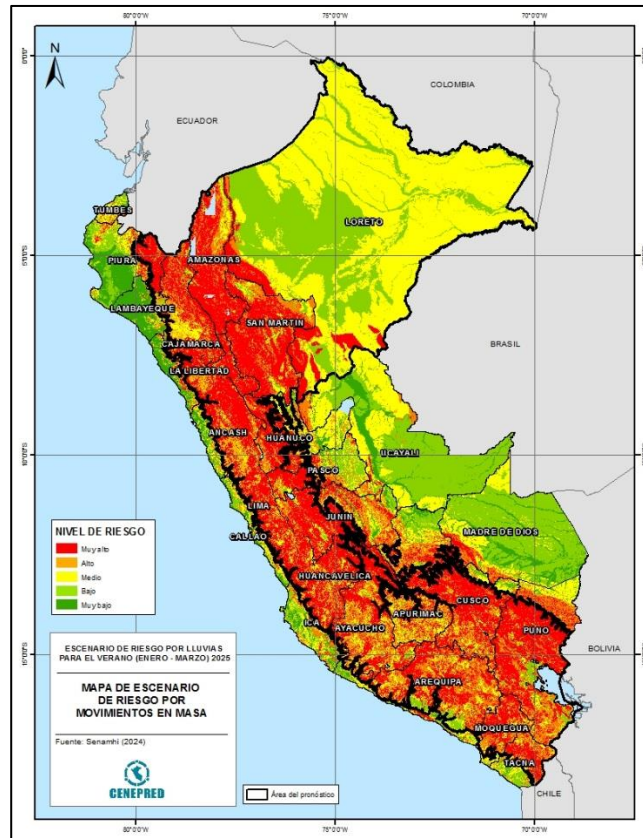
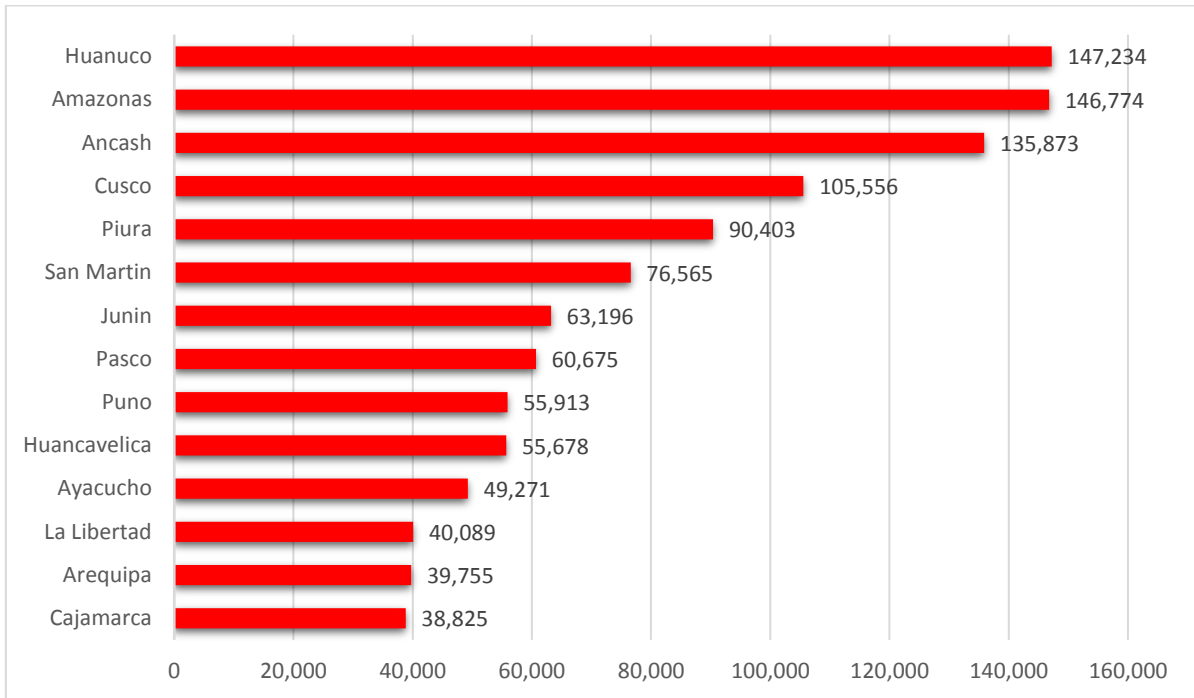


Tabla 3. Riesgo Muy Alto y Alto a movimientos en masa para periodo noviembre 2024 – enero 2025

Nivel de riesgo	MUY ALTO					ALTO				
Departamento	Centros poblados	Población	Viviendas	Establec. Salud	Instituc. Educativas	Centros poblados	Población	Viviendas	Establec. Salud	Instituc. Educativas
Amazonas	1 978	146 774	58 172	233	1 100	894	130 478	45 811	252	727
Ancash	2 505	135 873	61 837	111	951	1 754	97 783	42 454	80	560
Apurímac	67	815	663	3	7	626	12 608	8 584	19	112
Arequipa	552	39 755	17 082	26	134	1 451	117 056	74 724	67	323
Ayacucho	1 146	49 271	27 231	57	486	2 040	75 836	48 258	109	621
Cajamarca	345	38 825	13 934	43	248	1 954	238 630	95 141	223	1 691
Callao										
Cusco	1 923	105 556	48 118	62	539	2 948	281 454	107 074	128	917
Huancavelica	1 206	55 678	30 668	83	516	2 880	95 679	53 618	148	893
Huancayo	2 383	147 234	64 264	112	812	1 404	67 119	29 876	42	435
Ica	61	1 539	1 007	1	11	235	16 734	9 785	15	62
Junín	981	63 196	30 489	75	525	1 349	77 637	38 253	108	667
La Libertad	641	40 089	14 424	20	219	1 033	98 291	36 212	44	501
Lambayeque	5	422	128		2	20	1 964	713	1	13
Lima	524	8 892	6 299	21	109	1 626	40 120	23 756	87	381
Loreto	34	3 507	857	6	45	53	34 618	8 200	15	94
Madre de Dios	1	93	26	1	2	11	1 442	759	3	9
Moquegua	206	2 916	2 836	5	32	422	9 722	6 986	22	91
Pasco	938	60 675	21 861	72	264	754	29 357	11 126	83	304
Piura	708	90 403	29 679	68	631	731	118 803	39 664	73	710
Puno	1 319	55 913	42 503	32	285	3 116	166 268	100 735	102	970
San Martín	776	76 565	25 915	63	480	768	158 939	53 037	145	675
Tacna	78	4 104	2 877	8	34	166	6 762	4 679	11	53
Tumbes	2	8	13			11	7 938	3 099	2	15
Ucayali	16	2 258	632	3	21	50	5 452	1 623	6	45
Total	18 395	1 130 361	501 515	1 105	7 453	26 296	1 890 690	844 167	1 785	10 869

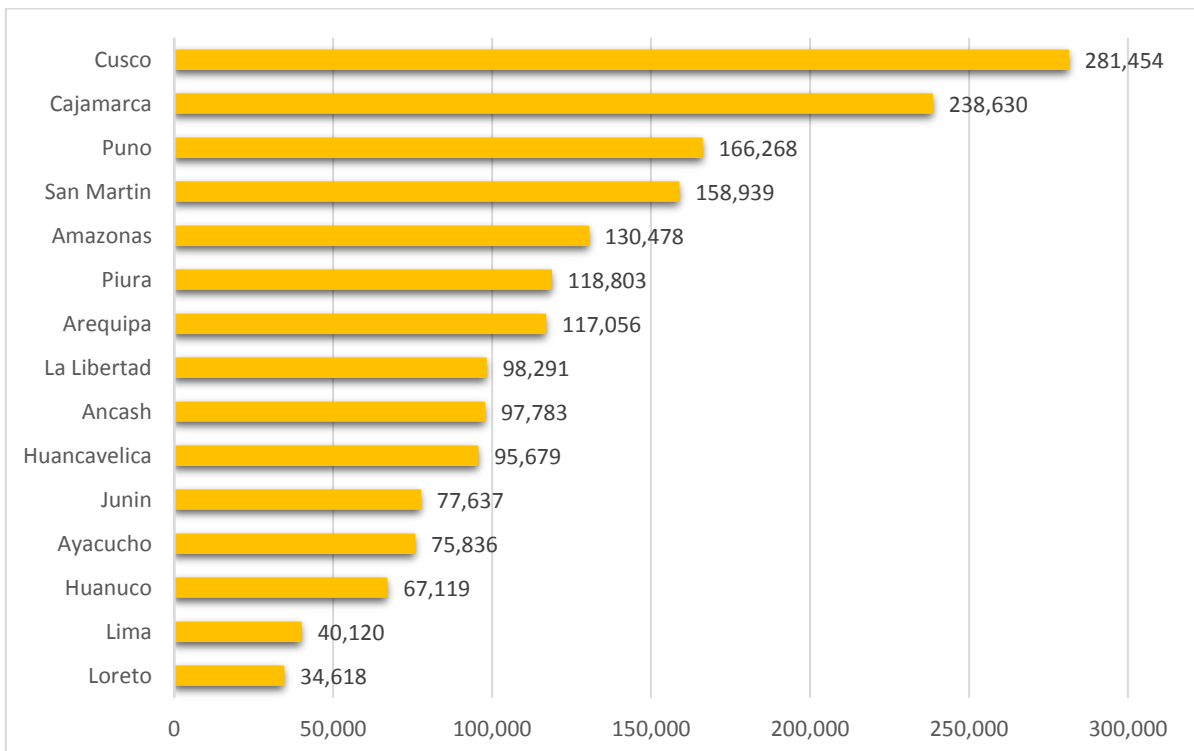
Fuente: CENEPRED. Basado en información de: INEI (Censo Nacional 2017), MINEDU (Escale, marzo 2024) y MINSa (RENIPRESS, marzo 2024).

Figura 8. Riesgo muy alto a movimientos en masa para periodo noviembre 2024 – enero 2025



Fuente: CENEPRED.

Figura 9. Riesgo Alto a movimientos en masa para periodo noviembre 2024 – enero 2025



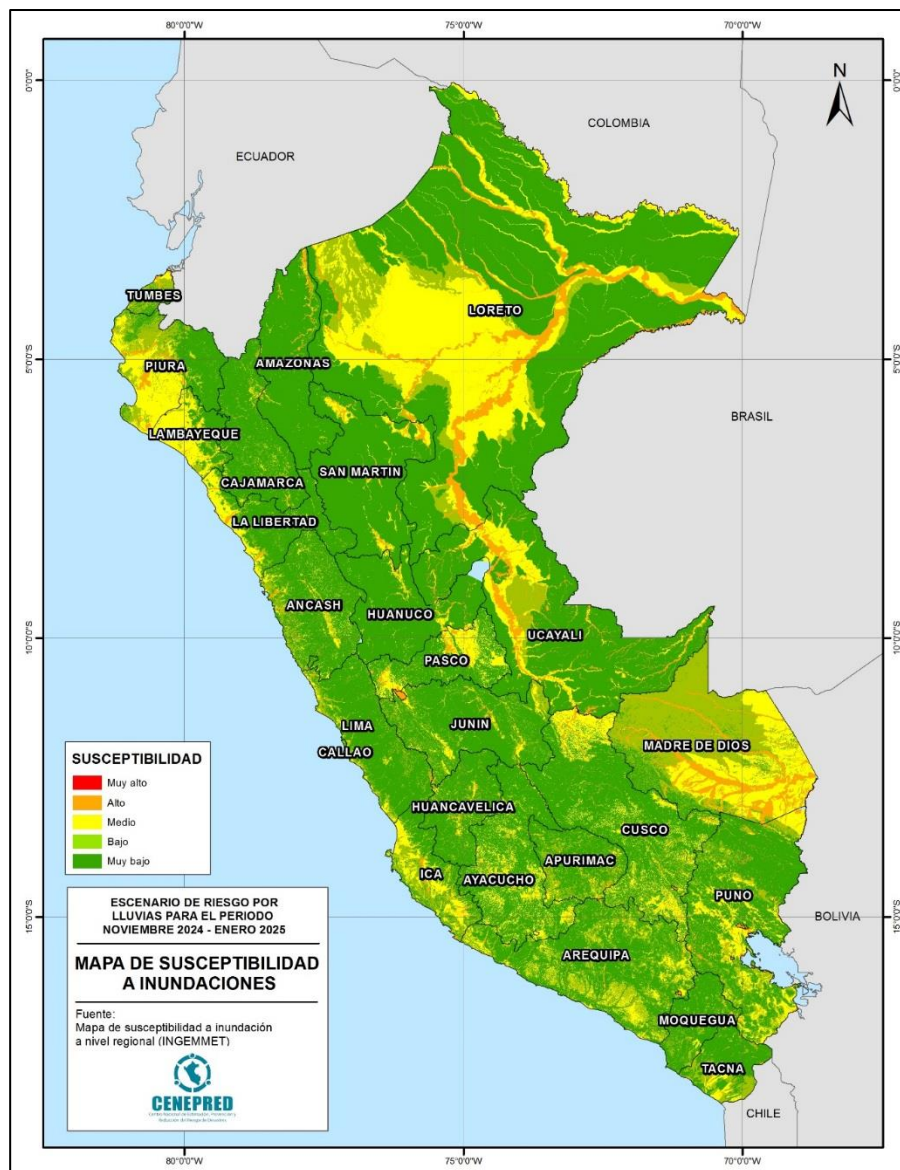
Fuente: CENEPRED.

6 ESCENARIO DE RIESGO POR INUNDACIONES

6.1 Susceptibilidad por inundaciones ante el pronóstico de lluvias noviembre 2024 – enero 2025

Para identificar las áreas de mayor predisposición a la ocurrencia de inundaciones se consolidó los mapas de Susceptibilidad a Inundaciones a nivel regional, elaborados por el INGEMMET, los cuales consideran como factores condicionantes: la geomorfología y la pendiente del terreno. Los ámbitos de susceptibilidad muy alta y alta se caracterizan principalmente por presentar llanuras aluviales, planicies, altiplanicies, terrazas aluviales, entre otros (Figura 9).

Figura 10. Mapa de susceptibilidad por inundaciones



Fuente: INGEMMET

6.2 Identificación de los elementos expuestos a inundaciones

Para realizar este análisis se ha considerado como elementos expuestos: población, vivienda, establecimientos de salud e instituciones educativas. Para ello se ha utilizado la siguiente base de datos georreferenciada:

- Población y vivienda a nivel distrital del Censo de Población y Vivienda del año 2017, elaborado por el Instituto Nacional de Estadística e Informática (INEI).
- Establecimientos de salud del Registro Nacional de Instituciones Prestadoras de Servicios de Salud (RENIPRESS) del Ministerio de Salud, actualizada a marzo 2024.
- Instituciones educativas del Ministerio de Educación, actualizada a marzo 2024.

6.3 Determinación del escenario de riesgo por inundaciones

Con la información geoespacial mencionada en el párrafo anterior, se realizó el análisis de exposición, el cual consistió en superponer dichas capas de información sobre las áreas de susceptibilidad por inundaciones, priorizando los niveles alto y muy alto, con la finalidad de identificar los posibles efectos ante la ocurrencia de inundaciones.

Considerando las perspectivas de lluvias para el periodo noviembre 2024-enero 2025 a nivel nacional, se estima un total de 1 148 centros poblados que estarían expuestos a un riesgo muy alto frente a la posible ocurrencia de inundaciones, así como 234 949 personas, 66 730 viviendas, 210 establecimientos de salud y 1 551 instituciones educativas. Los departamentos con mayor población expuesta a riesgo muy alto por inundación son Loreto (116,028 personas) y San Martín (93,683).

Respecto al riesgo alto por inundaciones, a nivel nacional se estima un total de 6 035 centros poblados, que comprenden un total de 2 551 779 personas, 836 786 viviendas, 1 640 establecimientos de salud y 6 744 instituciones educativas, los mismos que se encuentran distribuidos a nivel nacional. Los departamentos con mayor población expuesta a riesgo alto son Piura (368 199 personas), Ica (330 835 personas) y Cajamarca (238 930 personas) (Tabla 4, Figura 10).

Figura 11. Mapa de Escenario de riesgos por inundaciones para periodo noviembre 2024 – enero 2025

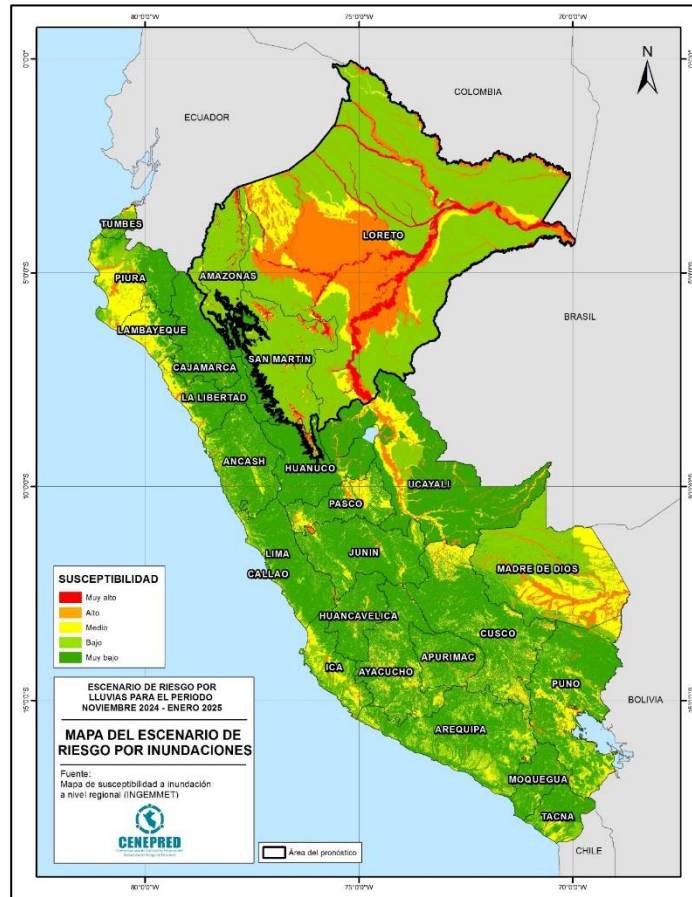
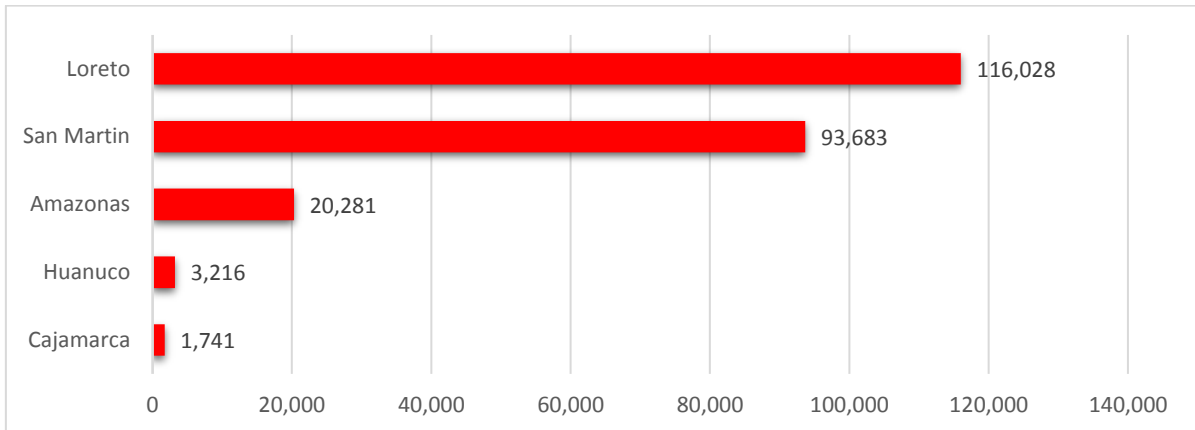


Tabla 4. Riesgo Muy Alto y Alto a inundaciones para periodo noviembre 2024 – enero 2025

Nivel de riesgo	MUY ALTO					ALTO				
	Centros poblados	Población	Viviendas	Establec. Salud	Instituc. Educativas	Centros poblados	Población	Viviendas	Establec. Salud	Instituc. Educativas
Amazonas	124	20 281	6 142	36	198	129	55 586	19 699	46	180
Ancash						329	184 062	59 151	61	314
Apurímac						397	116 389	44 574	119	415
Arequipa						184	20 537	10 459	24	88
Ayacucho						187	8 816	4 543	12	78
Cajamarca	5	1 741	598		2	143	238 930	68 540	225	404
Callao									3	11
Cusco						682	85 181	35 673	148	490
Huancavelica						300	81 639	31 640	53	200
Huanuco	34	3 216	1 531	8	18	151	105 755	31 948	37	223
Ica						279	330 835	115 643	94	455
Junín						251	160 400	51 165	71	419
La Libertad						129	91 786	26 322	16	101
Lambayeque						118	52 182	17 064	13	64
Lima						126	16 673	6 779	28	94
Loreto	759	116 028	28 858	113	1 114	625	95 313	23 852	109	893
Madre de Dios						133	26 733	10 103	36	119
Moquegua						129	2 588	1 940	9	26
Pasco						236	32 332	10 242	65	246
Piura						176	368 199	110 980	199	646
Puno						432	28 321	16 474	22	202
San Martín	226	93 683	29 601	53	219	351	222 545	70 926	141	465
Tacna						104	3 746	2 402	6	11
Tumbes						30	18 482	6 939	10	52
Ucayali						414	204 749	59 728	93	548
Total	1 148	234 949	66 730	210	1 551	6 035	2 551 779	836 786	1 640	6 744

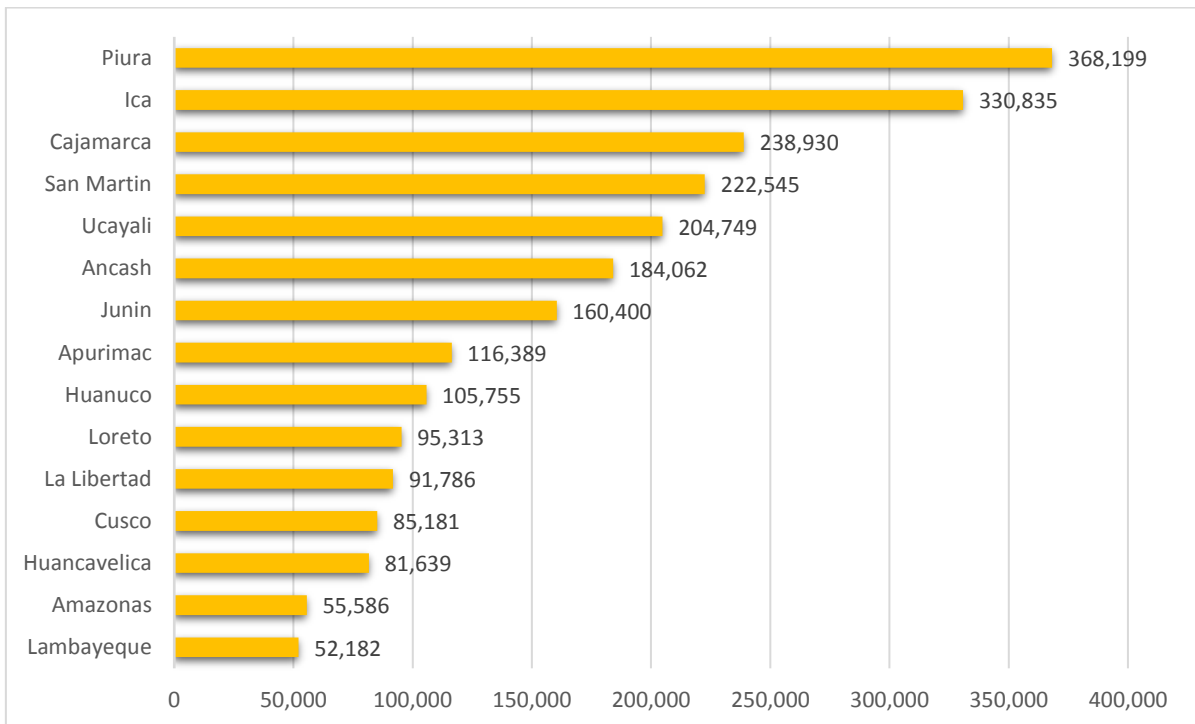
Fuente: CENEPRED. Basado en información de: INEI (Censo Nacional 2017), MINEDU (Escale, marzo 2024) y MINSA (RENIPRESS, marzo 2024).

Figura 12. Riesgo muy alto a inundaciones para periodo noviembre 2024 – enero 2025



Fuente: CENEPRED.

Figura 13. Riesgo muy alto a inundaciones para periodo noviembre 2024 – enero 2025



Fuente: CENEPRED.

7 CONCLUSIONES

- El SENAMHI pronóstica para el trimestre noviembre 2024 enero 2025 indica que en la costa norte las lluvias totalizaran cantidades inferiores, mientras la costa central y sur condiciones normales. En la zona andina norte occidental se prevén lluvias inferiores a lo normal y condiciones normales en la sierra norte oriental y sierra central; en la sierra sur, las lluvias totalizarían para el trimestre cantidades entre normal a inferior. En la selva, se esperan lluvias de normal a superior en la selva norte, y condiciones normales en la selva central y de normal a inferior en el sur.

Ante las perspectivas del escenario de lluvias para periodo noviembre 2024 – enero 2025, se ha identificado un total de 1 130 361 personas, 501 515 viviendas, así como 1 105 establecimientos de salud y 7 453 instituciones educativas con probabilidad de riesgo muy alto por movimientos en masa. Asimismo, se estima que 234 949 personas, 66 730 viviendas, 210 establecimientos de salud y 1 551 instituciones educativas, con probabilidad de muy alto riesgo por inundaciones a nivel nacional.

8 RECOMENDACIONES

- La Comisión Multisectorial del ENFEN informe de manera más frecuente la evolución de las condiciones oceánicas y atmosféricas y sus perspectivas sobre los eventos El Niño / La Niña.
- El Servicio Nacional de Meteorología e Hidrología (SENAMHI) remita oportunamente el pronóstico climático a fin que, este Centro Nacional elabore los escenarios de riesgo correspondientes.
- Teniendo presente la identificación de puntos y zonas críticas frente a la ocurrencia de peligros desencadenados por las lluvias que han sido identificadas por la ANA y el INGEMMET respectivamente se recomienda a los gobiernos regionales y locales realizar las intervenciones que les corresponde en el marco de sus competencias, para la prevención y reducción del riesgo en sus ámbitos jurisdiccionales. La Autoridad Nacional del Agua (ANA) continúe desarrollando las fichas técnicas de identificación de puntos críticos por inundación y activación de quebradas, y el INGEMMET la identificación de zonas críticas por peligros geológicos, así como las recomendaciones de implementación de medidas estructurales para reducir los riesgos en dichos lugares.
- Difundir los resultados del presente estudio entre los gobiernos regionales y locales, con énfasis en aquellos que presentan áreas de mayor susceptibilidad a la ocurrencia de movimientos en masa e inundaciones.
- A los gobiernos regionales y locales, priorizar sus zonas de intervención con relación a los resultados obtenidos en los escenarios de riesgo presentados, tanto para movimientos en masa como inundaciones.

ANEXO

Elementos expuestos a inundaciones y movimientos en masa